

## 弯曲水路の河床変動に関する研究

京大防災研究所 正員○村本嘉雄  
運輸省 正員 吉村知司

弯曲水路における河床変動は外岸せきの洗掘と内岸付近の堆積現象によつて特徴づけられる。一様な河床状態から洗掘、堆積の進行する過程の一測定例を示すと図-1のようである。図には初期河床を基準とした内岸、外岸における河床高および洗掘、堆積の境界線の時間的変化と最終時刻における砂堆の前縁線が示してある。内岸、外岸の河床形状と洗掘、堆積の境界線の形状は、時間の経過とともに、流下方向にはほつて一様な状態から顯著な波動状態に至り対応して変化してゆきのがわかる。また、砂堆の前縁線の位置も河床高および境界線の変化に対応し、最大堆積高、最大洗掘深および洗掘域が内岸へはりだす位置と前縁線との相対位置がほぼ一定である。

このように洗掘の進行した状態では、河床は平面的に顯著な波動性を呈し、こうした河床変動を全体的に記述するには当然二次元的を解析を必要とする。しかし、洗掘状態における弯曲部の流れの関数表示が難しく、現状では二次元解析は望めない。本文では、洗掘進行後の河床変動が外岸付近に集約されといふ点および図-1に示した洗掘、堆積の境界線と外岸の河床形状との関連性に着目して、流下方向に一次元化した解析を試みる。

1. 洗掘現象の条件式 座標系を図-2に示すように表わし、洗掘、堆積の境界線  $r_0(\theta, t)$  と外岸を以て限られる範囲の河床変動を考える。この範囲の河床形状は洗掘進行後にはほぼ"三角形断面"となることから、河床高を

$$Z(r, \theta, t) = (r - r_0) Z_2(\theta, t) / (r_2 - r_0) \quad (1)$$

と仮定する。流砂の連続式は二次元の場合、図-2の座標系で表示すると、

$$\frac{\partial Z}{\partial t} = \frac{1}{(1-\lambda)} \left\{ \frac{\partial g_{00}}{\partial \theta} + \frac{1}{r} \frac{\partial}{\partial r} (r g_{rr}) \right\} \quad (2)$$

となる。外岸付近の平均的な河床変動を  $Z_2$  で代表して記述することを考へ、(2)式に(1)式を代入して  $r_0$  から  $r_2$  まで積分すると、

$$\frac{\partial Z_2}{\partial t} = \frac{b}{(1-\lambda)b(3r_2-b)} \left\{ \frac{\partial}{\partial \theta} \left( \frac{r_2}{r_0} g_{00} \partial r - g_{00} \frac{\partial b}{\partial \theta} - (r_2-b)g_{rr} \right) - \frac{1-\lambda}{6} (3r_2-b) Z_2 \frac{\partial b}{\partial t} \right\} \quad (3)$$

を得られる。ここで、 $b = r_2 - r_0$ 、 $g_{00}$ 、 $g_{rr}$  は  $r_0$  における接線および半径方向の流砂量である。すなわち、上式は流路巾が場所的、時間的に変化し、 $r=r_0$  の境界線を通じて流砂の出入りする場合の流砂の連続式を表わしている。(3)式に基づいて解析を行おうためには、流路巾の変化、流砂量および流れの関係式を導入する必要がある。

まず、流路巾の変化を特徴づける式は、一般的には

$$\frac{\partial b}{\partial t} + U_b \frac{\partial b}{(r_2-b)\partial \theta} = V_b \quad (4)$$

の形で表わされる。ここで、 $U_b$ 、 $V_b$  は流路中の接線および半径方向の変化速度で上述の速度が砂堆の移動速度に対応するものとす。

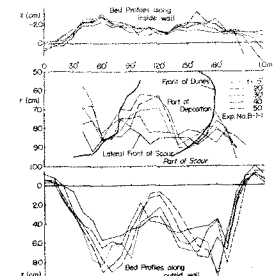
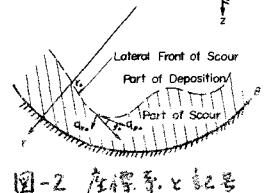
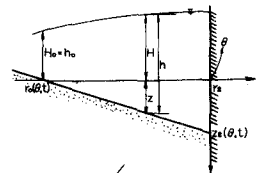


図-1 河床変動の実測例  
( $r_0 = 75\text{cm}$ ,  $B = 50\text{cm}$ ,  $\theta = 180^\circ$ ,  $Q = 6\text{m}^3/\text{s}$ ,  $i = 1/100$ )



えられる。また、 $g_{00}$  と  $g_{00}$  との関係は図-2 に示すように境界線上の  $\tan\theta$  の方向と接線方向との夹角  $\varphi_0$  を用いて、 $g_{00} = g_{00} \cdot \tan\varphi_0$  ……(5) で表わされる。

つまづく、洗掘進行後の流路横の平均的水流砂量  $\bar{g}_0$  と i 2 Brown 型の次式を仮定する。

$$\bar{g}_0 = \frac{1}{b} \int_{r_0}^{r_2} g_0 dr = K d \left\{ \left( \frac{\sigma}{\rho} - 1 \right) g d \right\}^{-m} \left\{ 1 - \left( \frac{U_{00}}{U_0} \right)^2 \right\}^m \bar{U}_0^{2m+1} \quad (6)$$

流路内の平均摩擦速度  $\bar{U}_0$  と流れとの関係は、洗掘初期においては底面摩擦と重力との平衡關係、Manning の流速式、流れの遠心力の関係および連続式によつて定めることができた。  
しかし、洗掘進行後においては、流下方向の水面こう配の意味が不明確になり、また水深の増加と流速の増加とが対応しなくなるので、最初の二つの条件式を用ひることはできない。これは、単純化では流路横平均流速  $\bar{U}$  に比例すると云ふ。

$$\bar{U}_0 = k \bar{U} \quad (7) \quad \bar{U} = Q / b \bar{h} \quad (8)$$

で表わす。ここで  $k$  は定数、 $\bar{h}$  は平均水深、 $Q$  は流路横の流量である、(3) 式は  $k$  から流れの連続式、 $\frac{\partial}{\partial t} \int_{r_0}^{r_2} r h dr + \frac{\partial Q}{\partial \theta} = (r_2 - b) h_0 \frac{\partial b}{\partial t} + h_0 U_0 \frac{\partial b}{\partial \theta} + (r_2 - b) h_0 \bar{U}_0$  (9)

より導き出される。ここで、 $h_0$  と  $U_0$ 、 $U_0 (= U_0 \tan\varphi_0)$  は境界線上の水深と鉛直方向平均流速成分である。(8)、(9) 式の水深と流速は流れの遠心力の関係と(1)に対する強制湯の分布式

$$dH/dr = U^2 / gr, \quad H = h - z \quad (10) \quad U = CR = U_0 r / r_2 \quad (11)$$

を級別して定める。その結果、 $\bar{h}$  は次式のようになる。

$$\bar{h} = \left\{ \frac{2Q}{U_0 r_2} + \frac{U_0^2 b}{12g r_2} \left( 2 - \frac{b}{r_2} \right)^2 \left( 6 - 7 \frac{b}{r_2} \right) - \frac{1}{6} \frac{b}{r_2} z_2 \right\} / \left( 2 - \frac{b}{r_2} \right) \div \left( \frac{2Q}{U_0 b} - \frac{1}{6} \frac{b}{r_2} z_2 \right) / \left( 2 - \frac{b}{r_2} \right) \quad (12)$$

以上の条件から、(3) 式 (5)～(8) と (12) 式を代入し、(4)、(9) 式を建立せると(1)は、(2)、洗掘現象における  $b(\theta, t)$ 、 $Q(\theta, t)$ 、 $z_2(\theta, t)$  の解析が可能となる。

2. 洗掘過程の解析 前項の各条件式に基づく洗掘過程の一般的な解析は、 $U_0$ 、 $U_0$ 、 $\tan\varphi_0$ 、 $U_2$  の関数形の確定に至るまで、現状では難しく、 $\lambda = 2$ 、第一段階として、(i) 流路中の時間的変化および境界線を週回する流砂、流水の出入りがない場合、すなわち  $g_{00} = U_0 = 0$ 、 $\partial b / \partial t = 0$ 、 $Q$ 、 $U_2$  一定として  $b(\theta)$  から  $z_2(\theta, t)$  を求め解釈と(ii) 流れの出入りを考慮し、 $Q(\theta)$ 、 $b(\theta)$  から  $z_2(\theta, t)$  を求め解釈の二つの場合について検討を行なう。  
(i) の場合は別報<sup>2)</sup>で述べたものである、(ii) については概述する。(ii) の場合、(3) 式は各条件式と代入すれば次式が得られる。

$$\frac{\partial z_2}{\partial t} = \frac{6 \bar{g}_0}{(1-\lambda) b (3r_2 - b)} (M_1 \frac{\partial b}{\partial \theta} + M_2 \frac{\partial b}{\partial \theta} + N \frac{\partial z_2}{\partial \theta}) \quad (13)$$

ここで、 $M_1 = 1 + L \left\{ \left( 4 - \frac{b}{r_2} \right) \frac{z_2}{r_2} - \frac{12Q}{U_0 r_2 b} \right\} / \left( 2 - \frac{b}{r_2} \right) \left( \frac{2Q}{U_0 b} - \frac{z_2}{r_2} \right)$ 、 $M_2 = L \left\{ \frac{b}{\bar{h}} - 2 \left( 2 - \frac{b}{r_2} \right) \right\} / \left( \frac{2Q}{U_0 b} - \frac{1}{6} \frac{b}{r_2} z_2 \right) U_2$ 、 $N = L \frac{b}{r_2} / \left( \frac{2Q}{U_0 b} - \frac{z_2}{r_2} \right)$ 、 $L = 2m + 1 + 2m \left( \frac{U_{00}}{\bar{U}_0} \right)^2 \left\{ 1 - \left( \frac{U_{00}}{\bar{U}_0} \right)^2 \right\}^{-1}$ 、 $\bar{U}_0 = k \frac{2}{b} \left( 2 - \frac{b}{r_2} \right) / \left( \frac{2Q}{U_0 b} - \frac{1}{6} \frac{b}{r_2} z_2 \right)$  である。

(13) 式の係数  $N > 0$  である、(13) 式は  $z_2$  の擾乱の上流、位相冲立河床変動を表すことを示す。洗掘状態における流速、流向測定值より(9) 式の関係を検討し、みる結果  $b(\theta)$ 、 $Q(\theta)$  から  $z_2(\theta, t)$  を計算した結果、弯曲部外岸の洗掘過程の実測値と傾向はほぼ一致するといわゆる、左。上述の各条件式の検討および解析結果、詳細は講演時述べる。

1) 京大防災研究所年報、11号B、B643.3、2) 京大防災研究所年報、12号B、B644.3